

05

© 1991 г.

**«ФОКУСИРОВКА ФОНОНОВ» И ОРИЕНТАЦИЯ
НЕПОЛНОГО ЭЛЕКТРИЧЕСКОГО ПРОБОЯ
В ЩЕЛОЧНО-ГАЛОИДНЫХ КРИСТАЛЛАХ**

B. B. Зубрицкий

Рассчитаны направления максимального концентрирования акустических фононов, соответствующие «нулевой» гауссовой кривизне поверхностей медленностей, в LiF, NaCl, KBr при комнатной температуре с целью проверки механизма формирования путей неполного электрического пробоя кристаллов вдоль фононных струй. Показано, что у ST-моды KBr и L-мод исследованных кристаллов отсутствуют направления резко анизотропного распределения их потока энергии. В плоскости (010) KBr обнаружено 8 направлений сильной фокусировки FT-фононов, в (110) NaCl и LiF — 8 и 12 направлений для ST-фононов и 8 и 4 для FT-мод соответственно. При этом минимальное расхождение отдельных направлений фокусировки с ориентацией стримерных треков составляет $\sim 20^\circ$ для KBr, $\sim 26^\circ$ (или $\sim 10^\circ$ с данными Дэвисона, полученными в трех образцах) для NaCl и $\sim 5^\circ$ для LiF, что превышает точность измерений ориентации стримеров ($\leq 3^\circ$).

В упруго анизотропных средах в общем случае вследствие неколлинеарности векторов фазовой и групповой скоростей существуют направления, в которых плотность фононов, излучаемых «точечным» источником, значительно превышает их плотность в «соседних» направлениях. Данный эффект, получивший название «фокусировки фононов» [1], экспериментально изучался в различных кристаллах (см., например, [1-3]), при этом достигнуто хорошее соответствие с теорией. В работе [4] явление фокусировки предложено использовать для объяснения закономерностей неполного электрического пробоя кристаллов, так и не получивших однозначной интерпретации [5-7].

В соответствии с моделью [4] влияние фононов проявляется на этапе зарождения стримерного разряда и заключается в следующем. Электрическое поле «точечного» источника (например, от острия электрода) возбуждает в кристалле из-за стрикции или пьезоэффекта упругие колебания — продольные (L), быстрые (FT) и медленные (ST) поперечные фононы. Вдоль направлений фокусировки $r(\theta_f)$ образуются интенсивные потоки акустических фононов, тормозящих быстрые неравновесные носители заряда, что приводит к повышению максимума поля вдоль $r(\theta_f)$, быстрому росту концентрации носителей и проталкиванию области сильного поля вдоль $r(\theta_f)$. Дальнейшее развитие стримера определяется скоростью рождения носителей и описывается без учета воздействия фононов, возбуждаемых «точечным» источником [4].

Предложенный механизм не ограничивается каким-либо классом симметрии кристаллов, и если для нецентросимметричных сред привлекается эффект понижения симметрии во внешнем электрическом поле E , то «в центросимметричных кристаллах NaCl, LiF, KBr и др. пробой идет практически по направлениям фононной фокусировки при $E=0$ » [4].

Таким образом, если определить направления максимального концентрирования фононов [1] в центросимметричных кристаллах, то они должны практически совпадать с кристаллографическими направлениями распространения стримерных разрядов, ориентация которых известна с точностью до градуса. Однако в [4] не приводится конкретных данных, свидетельствующих о таком

совпадений, а ссылки на результаты [1-3] нельзя считать достаточными. Например, в работе [1] коэффициент концентрирования определялся статистическим методом с шагом сканирования 1.25 и 2° по пространству волновых векторов и векторов переноса энергии соответственно. Подобные результаты представлены в [2], где вычисления проведены на сетке $4 \times 4^\circ$ для LiF и KCl, а также в [3] для NaCl, LiF, KCl, KI, Al, Cu, Ge и др. на сетке по полярному и азимутальному углам $15 \times 15^\circ$. Все эти расчеты и соответствующие им эксперименты по баллистическому транспорту фононов выполнены при температурах не выше 5 К. В ряде случаев материальные константы кристаллов экстраполировались к ОК [2]. Стремительные разряды, насколько нам известно, в щелочно-галоидных кристаллах (ЩГК) при столь низких температурах не исследовались ($T_{\text{min}} \approx 80$ К). Кроме того, во многих ЩГК при понижении температуры наблюдаются кристаллографически неориентированные разряды, распространяющиеся по случайному направлениям [5, 6].

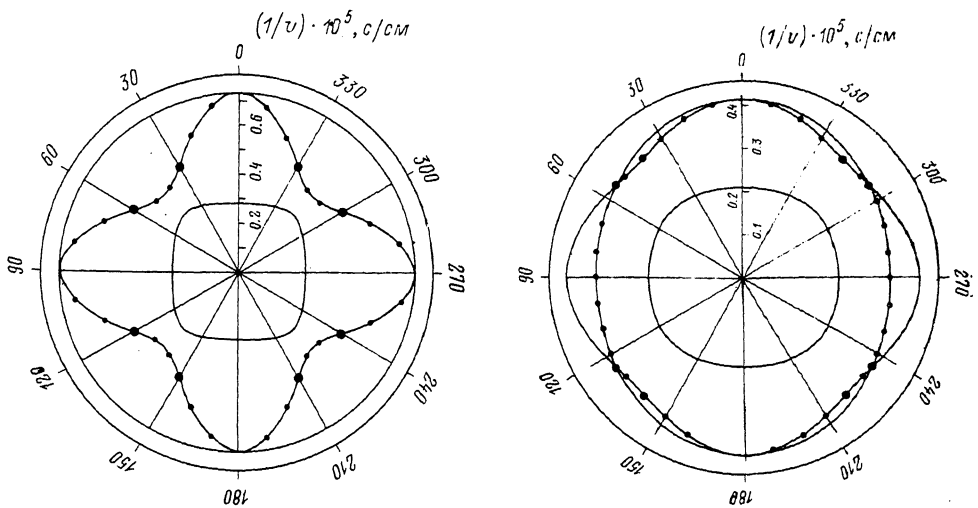


Рис. 1. Сечения поверхностей обратных фазовых скоростей кристаллов бромида калия xoz -плоскостью (010) при комнатной температуре.

Рис. 2. Сечения поверхностей медленностей для продольной, быстрой (маркированная кривая) и медленной поперечных акустических мод NaCl плоскостью (110) при комнатной температуре.

В этой связи в настоящей работе рассчитаны направления максимального концентрирования акустических фононов в кристаллах NaCl, LiF, KBr при комнатной температуре и проведен анализ с экспериментами по стримерам.

Уравнение распространения упругих волн в непьезоэлектрических анизотропных средах

$$\rho \frac{\partial^2 u_i}{\partial t^2} = c_{ijkl} \frac{\partial^2 u_l}{\partial x_j \partial x_k} \quad (1)$$

имеет плоско-волновое решение $u = u_0 \exp(i(\omega t - kx))$ и после соответствующих преобразований приводится к виду:

$$(\Gamma_{ii} - \rho v^2 \delta_{ii}) u_{0i} = 0, \quad (2)$$

где тензор Кристоффеля $\Gamma_{ii} = c_{ijkl} n_j n_k$, c_{ijkl} — тензор модулей упругости, ρ — плотность кристалла, u — вектор поляризации среды.

Решение (2) дает зависимость фазовых скоростей продольной v_L , медленной v_{st} и быстрой v_{ft} поперечных фононных мод от направления распространения. Полную информацию о фокусировке фононов позволяет получить анализ поверхностей постоянной частоты или обратных фазовых скоростей — поверхностей медленностей [8, 9]. При этом максимальное концентрирование фононов имеет место в областях нулевой гауссовой кривизны ($G=0$) поверхностей

Таблица 1
Материальные константы кристаллов [11],
использованные в расчетах

Кристалл	$\rho \cdot 10^{-3}$, кг/м ³	$c_{11} \cdot 10^{-10}$, Н/м ²	$c_{12} \cdot 10^{-10}$, Н·м ²	$c_{44} \cdot 10^{-10}$, Н·м ²
NaCl	2.1678	4.95	1.29	1.265
LiF	2.64	11.4	4.77	6.36
KBr	2.75	3.49	0.58	0.51

$\omega(k) = \omega$. Эти области соответствуют заострениям сечений лучевых поверхностей [10]. Формы поверхностей медленностей и постоянной частоты подобны. В настоящей работе исследовались поверхности медленностей.

За направление полярной оси ($\theta=0$) выбрано направление [001]. Направлению [100] соответствуют полярный θ и азимутальный φ углы, равные 90° и 0 . Для [010] $\theta=90^\circ$, $\varphi=90^\circ$. Использованные в расчетах параметры кристаллов приведены в табл. 1.

На рис. 1 и 2 представлены сечения поверхностей рефракции NaCl и KBr плоскостями, в которых лежат пути распространения стримерных разрядов.

Таблица 2

Полярные координаты (θ , v^{-1}) точек «нулевой» кривизны сечений
поверхностей медленностей для поперечных медленной (ST)
и быстрой (FT) акустических мод, соответствующие им направления (θ_f)
фокусировки фононов и ориентация электрических разрядов (θ_d)
при комнатной температуре в ШГК

Кристалл	Сечение τ , град	ST		FT		Ориентация неполного пробоя		Литература
		θ , град/ $v^{-1} \cdot 10^5$, с/см	θ_f , град	θ , град/ $v^{-1} \cdot 10^5$, с/см	θ_f , град	θ_d , град		
1	2	3	4	5	6	7	8	
NaCl	45	54.6 0.36352	63.84	40.56 0.36107	46.9	73.7 106.3	[12], [5]	
		54.9 0.36356	45.53	54.0 0.36266	45.51	90 0	[12], [5, 6]	
		125.1 0.36356	134.47	126.0 0.36266	134.49		[13]	
		125.4 0.36352	116.16	139.44 0.36107	133.1			
LiF	45	348.78 0.21284	10.38	77.82 0.21086	94.74	80.7 99.3	[12]	
		54.6 0.24711	72.81	102.18 0.21086	85.26	90	[12]	
		54.9 0.24716	36.56					
		125.1 0.24716	143.44					
		125.4 0.24711	107.19					
		191.22 0.21284	169.62					
KBr	0	—	—	30.72 0.49077	70.21	90	[13]	
				59.28 0.49077	19.79			
				120.72 0.49077	160.21			
				149.28 0.49077	109.79			

Примечание. Приведены данные по пробою без перенапряжения.

Видно, что в направлениях $\langle 111 \rangle$ поверхности быстрой и медленной акустических мод соприкасаются. Выполнение тождества $v_{ST} = v_{FT}$ для $\langle 111 \rangle$ свидетельствует о корректности вычислений. Темными кружками на рис. 1, 2 помечены точки, где $G \rightarrow 0$. Они разделяют области знакопеременной кривизны.

Ни в одном из кристаллов для продольных акустических фононов не найдено направлений резко анизотропного распределения их потока энергии. В этом смысле можно сказать, что L -моды пассивны.

Аналогичная ситуация наблюдается и для ST -фононов в КBr. В плоскости (010) этого кристалла имеется 8 симметричных направлений максимального концентрирования только быстрых поперечных фононов (табл. 2, интервал 0–180°). Сравнивая полученные данные с ориентацией стримерных треков в KBr [13], легко видеть, что несовпадение составляет примерно 20°.

В хлористом натрии обнаружено 8 направлений сильной фокусировки ST -фононов и столько же направлений для FT -фононов. Вдоль кристаллографической оси [111] у медленной поперечной моды наблюдается коническая рефракция с углом между осью и образующей $\delta = 9.15^\circ$. Кроме того, как видно из табл. 2, у FT - и ST -фононных мод имеются практически совпадающие направления фокусировки $\theta_f^{ST} \approx \theta_f^{FT}$ (на рис. 2 эти и другие близко расположенные точки с $G \rightarrow 0$ неразрешены). Несовпадение ($\Delta\theta$) направлений фокусировки ST -моды с данными [13] по пробою NaCl составляет около 26°. Меньшее различие наблюдается с результатами [12] $\Delta\theta_f^{[12]} \approx 10^\circ$. Для быстрых акустических фононов расхождение с измерениями [13] и [12] еще значительнее $\Delta\theta_f^{[13]} \approx 43^\circ$ и $\Delta\theta_f^{[12]} \approx 27^\circ$ (табл. 2). Необходимо отметить, что в NaCl пути пробоя с ориентацией $[xxy]$, где $x \geq y$, нестабильны [14] и во многих исследованиях [5, 6, 15] повторены результаты [13].

В кристаллах LiF для быстрых поперечных фононов наблюдается 4 направления максимального концентрирования, а для ST -моды — 12 направлений. Так же как и в NaCl, вдоль [111] имеет место коническая рефракция ST -фононов, но с углом $\delta = 18.1^\circ$. Сравнение с данными по пробою показывает, что в LiF $\Delta\theta \approx \theta_f \approx 5^\circ$. Для медленных поперечных фононов минимальное расхождение с направлениями развития стримеров составляет $\Delta\theta_{ST} \approx 8^\circ$.

Учитывая, что точность измерения ориентации треков разрядов $|\Delta\theta_i| \leq 3^\circ$ [12], полученные результаты не позволяют сделать вывод о совпадении путей неполного электрического пробоя кристаллов NaCl, LiF, KBr с направлениями максимального концентрирования акустических фононов, возбуждаемых «точечным» источником, при $E=0$.

Выражают признательность В. Н. Белому и А. Г. Хаткевичу за конструктивные обсуждения.

Список литературы

- [1] Taylor B., Maris H. J., Elbaum C. // Phys. Rev. Lett. 1969. Vol. 23. N 8. P. 416–419.
- [2] Taylor B., Maris H. J., Elbaum C. // Phys. Rev. B. 1971. Vol. 3. N 4. P. 1462–1472.
- [3] Philip J., Viswanathan K. S. // Phys. Rev. B. 1978. Vol. 17. N 12. P. 4969–4978.
- [4] Чернозатонский Л. А. // Письма в ЖЭТФ. 1983. Т. 38. Вып. 5. С. 225–228.
- [5] Беркс Дж. Б., Шулман Дж. Г. Прогресс в области диэлектриков. М., Л.: Госэнергоиздат, 1962. Т. 1. 293 с.
- [6] Воробьев А. А., Воробьев Г. А. Электрический пробой и разрушение твердых диэлектриков. М.: Высшая школа, 1966. 224 с.
- [7] Франци В. Пробой диэлектриков. М.: ИЛ, 1961. 207 с.
- [8] Northrop G. A., Wolfe J. P. // Phys. Rev. B. 1980. Vol. 22. N 12. P. 6196–6212.
- [9] Lax M., Narayanamurti V. // Phys. Rev. B. 1980. Vol. 22. N 10. P. 4876–4897.
- [10] Хаткевич А. Г. // Вестн. АН БССР. Сер. физ.-мат. наук. 1965. № 1. С. 93–97.
- [11] Акустические кристаллы. Справочник / Под ред. М. П. Шаскольской. М.: Наука, 1982. 632 с.
- [12] Davission J. W. // Phys. Rev. 1948. Vol. 73. N 10. P. 1194–1201.
- [13] Caspari M. E. // Phys. Rev. 1955. Vol. 98. N 6. P. 1679–1691.
- [14] Davission J. W. // Phys. Rev. 1953. Vol. 91. N 1. P. 228.
- [15] Лисицын В. М., Олешко В. И. // Письма в ЖЭТФ. 1983. Т. 9. Вып. 1. С. 15–18.